

No. 237.

(Published July, 1942.)

---

## Experimental Study on the Formation of Shock Waves.

By

Sandi KAWADA.

Member of the Institute.

---

### Abstract.

Two aerofoils of 4 cm chord were tested in 16×16 cm high speed wind tunnel. The upper and lower boundaries of the tunnel were removable, thus both closed- and open-type wind tunnel, were available for the experiment.

Especially in the closed-type tunnel very clear photographs of the shock waves were obtained.

Two different kinds of shock waves were observed. The principal shock wave is the one perpendicular to the flow and in passing this the velocity jumps from supersonic to subsonic state. The another is smaller oblique shock wave situated in front of the former. The velocity after this wave is still supersonic.

---

No. 237

(昭和十七年七月發行)

## 衝撃波の生成に関する実験

所員河田三治

### 目 次

1. 緒 言
2. 実験装置及実験方法
3. 実験結果
4. 特種翼型に就いての実験
5. 結 言

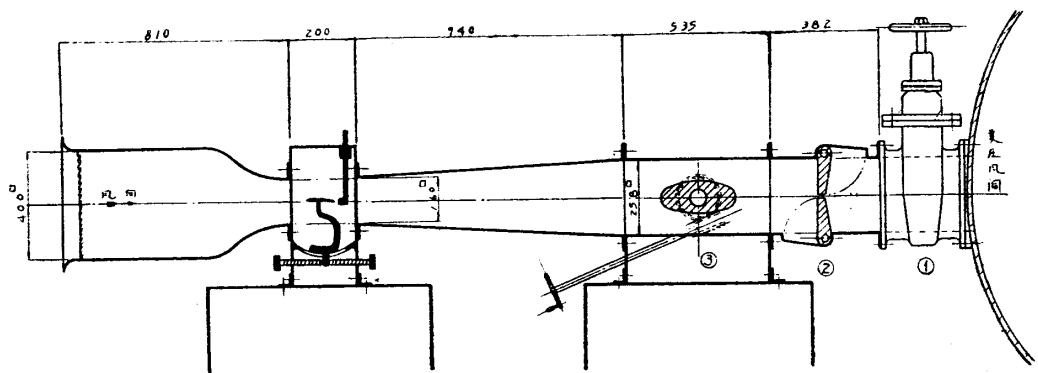
### 1. 緒 言

翼型の性能はマッハ数により左右され、殊に衝撃波が発生すれば、著しき變化を受け抗力は増加し、同時に揚力が減少することは著名の現象である。既に二三の此の衝撃波を伴ふ如き高速に於ける実験研究の發表されたものがあるが、衝撃波発生の模様は風洞により異り、且衝撃波のシリーレン寫真として示されてゐるものは意義不明にして且、明瞭なる寫真は示されてゐない。

今回プロペラ部第2高速風洞にて NACA 4412 翼及特殊翼につき実験を行つたが、極めて明瞭な衝撃波の寫真を得たので此處に報告する次第である。本風洞は幸に固定壁、自由壁の二様に變化出来るもので、兩様にして実験し且 NACA 4412 の外に特殊の翼型に就いても実験を行ひ、衝撃波の発生状況は風洞の状態（固定壁か、自由壁）かによつて著しく異り、且つ翼型によつても非常な外見上の変化があつて、一般に適用出来る結論は尙多くの実験研究と共に理論的考察を加へねば達せられぬものと思はれることがわかつた。

### 2. 実験装置及実験方法

プロペラ部第2高速風洞は実験場所  $16 \times 16$  糸の正方形、上下の壁は固定壁、もしくは自由壁の何れにも変えられる様になつてゐる。左右は常に平面硝子で此の硝子の間に翼型は壁から壁まで、二次元的に置かれてゐる。



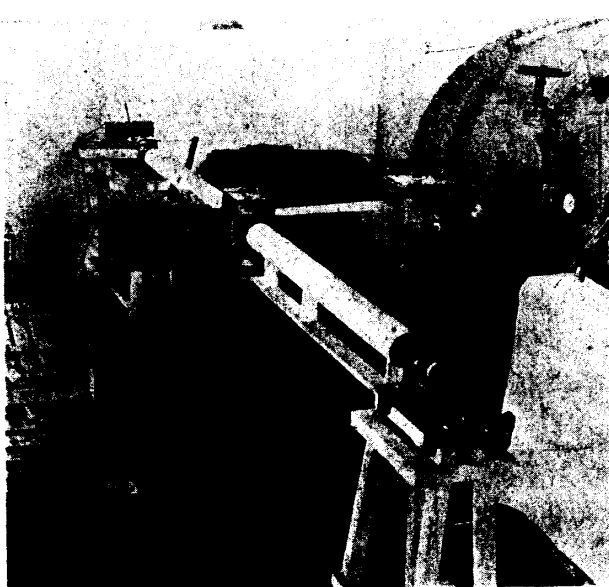
第1圖 プロペラ部第2高速風洞

此の風洞は普通の弁①及急速開閉弁②を供へ、又③の梢圓形の柱を回転することによつて擴散筒の面積を變えて、速度を最高マッハ數 0.9 附近から、0.2 附近まで任意に變化出来る。

風洞は總容量 300 立方米の變壓風洞に取り付けられ、風洞を減壓しておいて、急速開閉弁 2 を開いて、作動せしめる。風洞の減壓は 75 馬力の日立製の回轉真空ポンプ（最高真空度 720 精水銀柱）によつて約 30 分にして 730 精に減壓出来る。此の狀態から開始すれば最高風速にて一定風速を保つ時間は約 16 秒であつて、短い様ではあるが、十分に目的に應ぜられる。今回の實驗に於ては大抵 500~600 精の真空度に於て弁を開き 250 精まで下つたときに弁を閉ぢ、次に又 500~600 精に昇るを待つて實驗を繰り返す。待つ時間は凡そ 5 分位である。

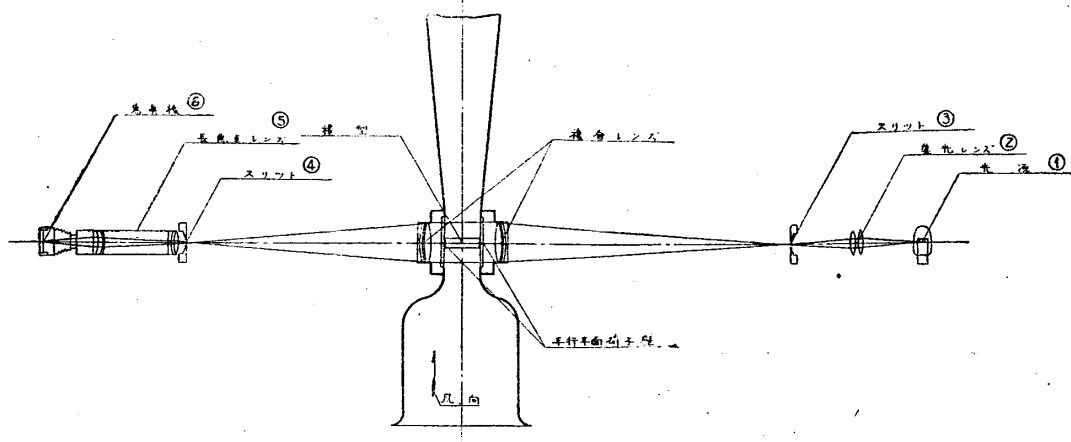
實驗に使用した翼型は弦 $40^{\circ}$ 精、幅 160 精のもので、真鑄製で、表面は特殊翼は完全に滑か、又 NACA 4412 翼は一度、表面に 0.5 精の深さの溝を掘り後これをワックスで埋めて出来るだけ滑かにしたものである。

此の風洞はシュリーレン専門の風洞であつて、第2圖の一般情況に見る如く、風洞の窓は直徑 150 精、焦點距離約



第2圖 風洞一般圖

2250 粒の 2 個のレンズで出来てゐる。



第 3 圖 シュリーレン装置

レンズの一方の焦點にスリットをおき、第 3 圖に於て 1000 ワットの映寫機電球①を光源とし集光レンズ②によりスリット③に光を集め。他方のレンズ焦點にはシュリーレン遮像片④をおき、次に望遠レンズ⑤によりライカ寫眞器⑥にシュリーレン像を結ばせる。氣流は平行光線中にあつて、翼型の如き二次元物體のまわりの流れの研究に適してゐるわけである。シュリーレン寫眞を撮ると同時に平均總壓管を翼の直後において、總壓の損失係数、

$$\frac{4H}{H}$$

をシュリーレン寫眞と同時に測定した。

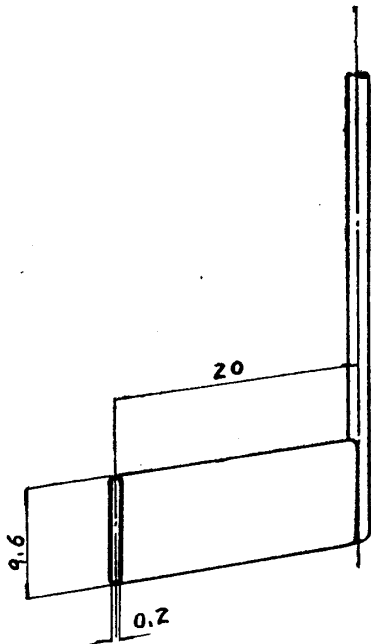
但し  $H$  = 大氣壓で氣流の損失ない場合の總壓に殆んど等しい。

$4H$  = 平均總壓管に表はれる損失。

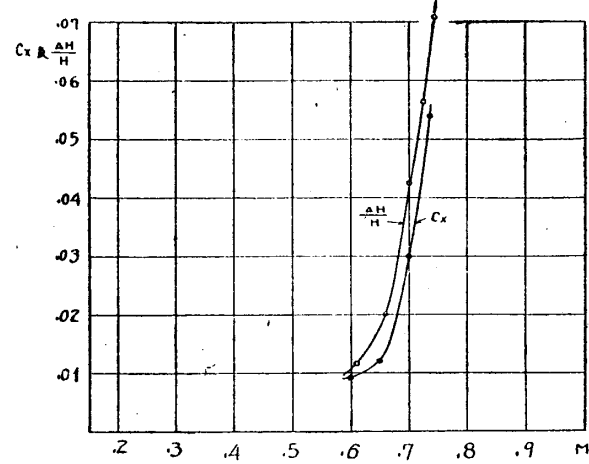
平均總壓管は第 4 圖に示す如きものであるが、迎角の大きな場合には小さすぎて翼の後方の總壓の損失を全部表はすことが出来なかつた。併し損失の變化する傾向は十分に読み取ることが出来た。

總壓の損失と翼型の抗力とは密接な関係があつて、プロペラ部第 I 高速風洞に於て且つて著者が行つた實驗から NACA 4412 翼型に就き迎角 0 度の場合、今回の平均總壓管の測定し得る範囲の平均總壓の損失係数と抵抗係数との關係を求めて見ると第 5 圖の様になつてゐる。<sup>(1)</sup>

(1) 河田三治、藤井正一、高速流中に於ける翼型の抵抗、航研報、第 214 號、昭和 16 年 9 月



第 4 圖 干均總壓管



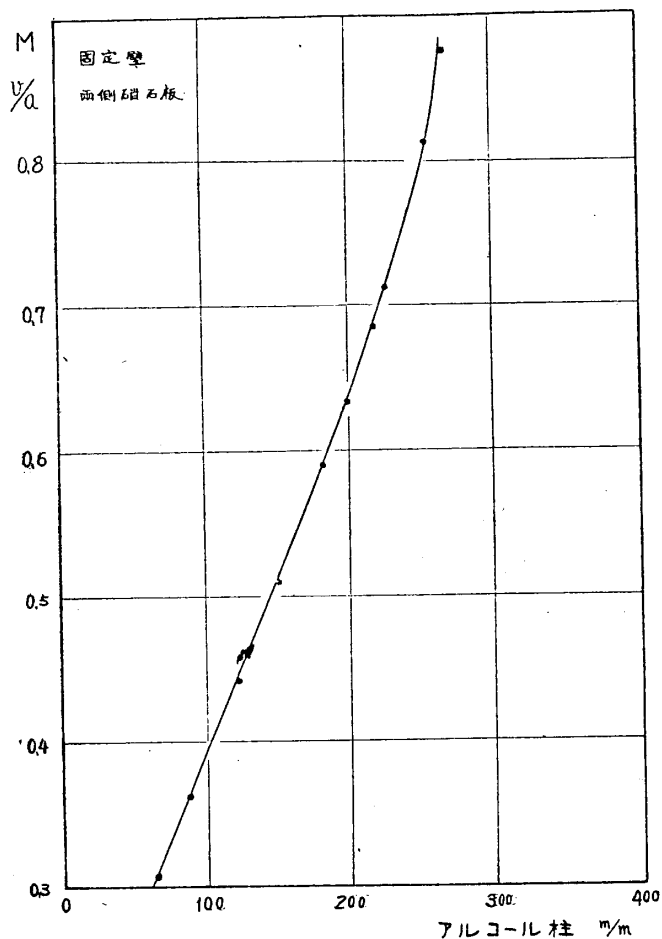
第 5 圖 總壓損失係数と抗力係数との関係

第 1 風洞と第 2 風洞とは大きさ、翼の型式及風洞と模型との相互の大きさが異なる爲、當然、抗力係数の増加し初めるマッハ数は同じ翼型に對しても同一ではない。これは所謂風洞効果によるものであるが、損失係数と抗力係数の平行性は認めることが出来る。此の方法に依つて衝撃波の発生と抵抗係数の増加の問題を關係づけることが出来た。

速度の決定は他所の風洞に採用される方法と同じものを取つた。即ち固定壁の場合は翼模型をはづし、その位置にピトー管をおき、又風洞の集合筒のうちに同じくピトー管をおき、風洞を運轉してその兩者の関係を求めた。第 6 圖がその一例である。

模型を置いた場合には集合筒のピトー管の読みより、此の関係を使用して、模型の位置の風速とした。大抵の高速風洞は此の方法を以て速度を定めてゐるが、實はこれは、風洞実験の場合の風速の定義であつて、大氣中を同じ風速で飛行する場合同じ流動現象が行はれるものとは限らない。これが所謂風洞効果の一つで、衝撃波を生じてゐる場合には殊に甚しい。

自由壁の場合には氣流の貫き流れる室の壓力を測定し、空氣は大氣圧から此の氣圧迄断熱的に變化するものと考へ次の式で計算した。



第6圖 風速の決定

$$M^2 = \frac{2}{\gamma-1} \left[ \left( \frac{p}{p_0} \right)^{\frac{\gamma}{\gamma-1}} - 1 \right]$$

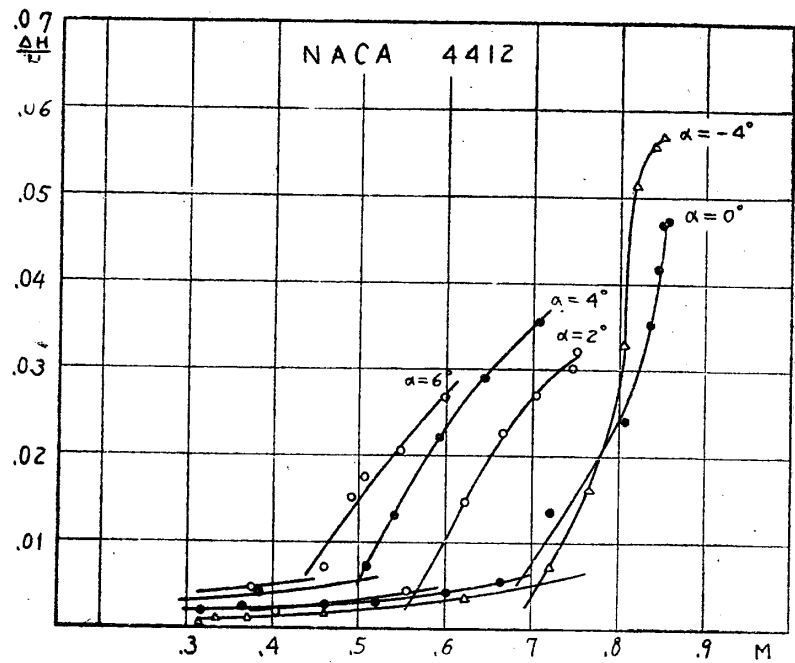
此處に

 $M$  = 気流のマッハ数 $p$  = 測定室の圧力 $p_0$  = 大気圧、即速度 0 のときの圧力 $\gamma$  = 比熱の比で 1.4

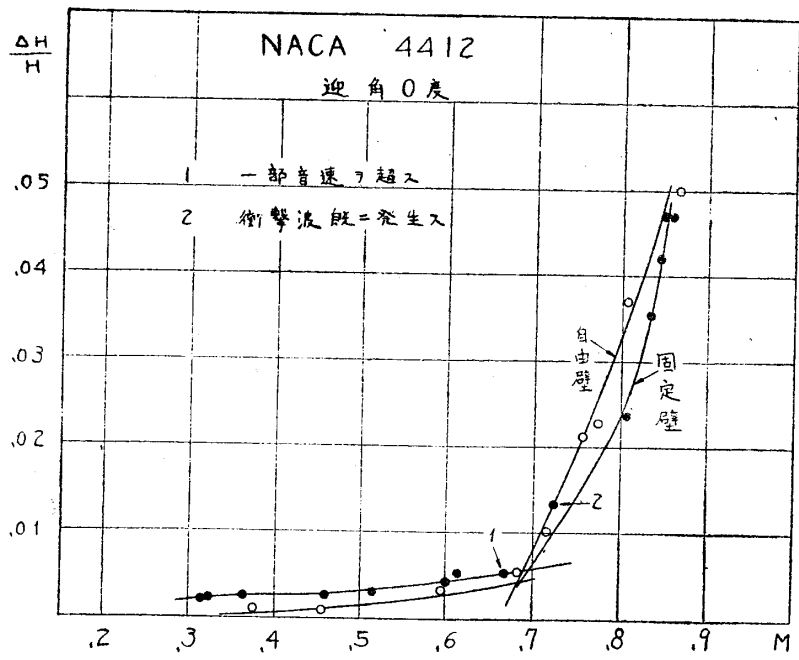
これも亦自由壁の場合は斯くの如くにして速度を定めたとの定義にすぎない。

### 3. 實驗結果

1. NACA 4412 の總壓損失のマッハ数による變化は第 7~8 圖に示す。迎角の



第 7 圖



第 8 圖

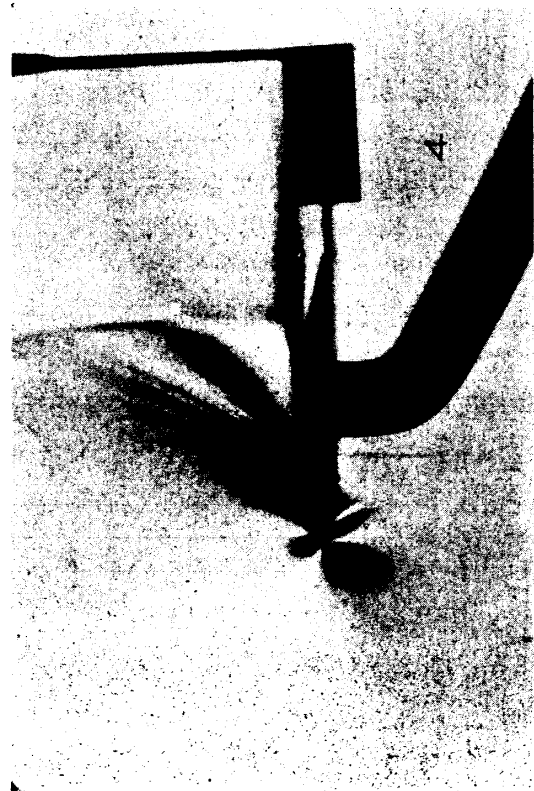
大きい時は平均總壓管の長さが不十分の爲、寫眞より見てもわかる通り、總壓管が後流の一部にしか入つてゐない。これが爲に總壓の損失が迎角の小さい時ほどマッハ數が増しても増加しないのである。

自由壁の場合は迎角 0 度の場合のみ行つたので、第 8 圖に固定壁の場合と並べて示しておいた。總壓損失の增加の模様は何れの場合も大差がない。併しこの結果から直ちに自由壁の場合でも、固定壁の場合でも、マッハ數による抗力係数の變化が同じである、殊に衝撃波を起して後の變化が同一であるとの結論を下すには尚早い。後にも述べる通り、總壓の損失の増加即ち抗力係数の増加は流れの剥離の爲に依る様で、總壓損失曲線は圖に見る如く、マッハ數の小さい場合に限界層が段々厚くなつて少しづゝ損失が増す曲線部分と、剥離を起し、更にその上に衝撃波も生じて損失が急に増加する曲線部分の 2 つより成るものと考へた方が適當らしい。

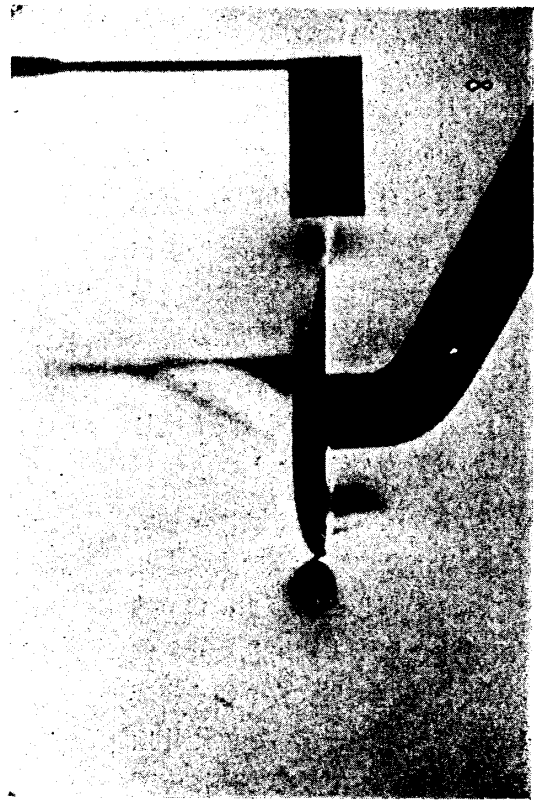
2. NACA 4412 の各速度に於けるシュリーレン寫眞は第 9 圖～第 33 圖に示しておいた。シュリーレン寫眞の撮り方には種々の方法があるが此の實験では次の方法によつた。光源のスクリートは縦及横の 2 種に變え、これに對應してシュリーレン遮像片 4 (これは細隙にも亦單に一方だけの像に平行な單片としても使用した) を像に並行なる様に調正した。此等の場合に應じて寫眞には

1. 衝撃波の如く密度の流れに沿ふて増加する時に黒く現はれる場合、之を便宜上 A 種とする。遮像片は縦の單片を使用す。
2. 流れに平行に上から下へ又は下から上へ何れの方向にも密度の變化があつたときに黒くなる場合、遮像片は横の細隙を使用する。之れを B 種とす。
3. 上の場合と同じく只遮像片として單片を使用する爲に上から下、若しくは下から上何れかの變化のみ黒く、他は地より白く現はれる場合、これを C 種とする。

例へば第 11 圖は迎角 0 度、マッハ數 0.833 固定壁の場合で A の場合であつて、流れの方向に壓縮されつゝあるところが黒く現はれてゐる。翼の先端の黒い所は、岐點の前、流速減少し從つて壓縮されつゝあるところ、翼上面の翼に略直角な黒線は衝撃波で速度は急に下り、從つて密度の急に増加するので黒く現はれてゐる。その前方の斜めの縞は翼表面の僅かの凹凸より發生するマッハ波を示し、勿論此の部分は音速以上の流速で衝撃波を通して急激に音速以下に下り、その後は音速以下でマッハ波は現はれない。翼下面にも弱い衝撃波が現はれてゐるらしい。此の場合には上下方向の密度變化は現はれないから、後流と一般流との境ははつきりしないものの、翼の最も厚い場所にて氣流の剥離を起してゐることがわかる。第 9 圖はマッハ數 0.852 の場合の同じ場合の流れを B の場合で撮影したもので、上下の密度變化が現はれるため、後流の領域がはつきり現はれてゐる。この場合には音速以上の部分から發生するマッハ波も亦極めて明瞭に見られる。次に第 22 圖を見るとマッ



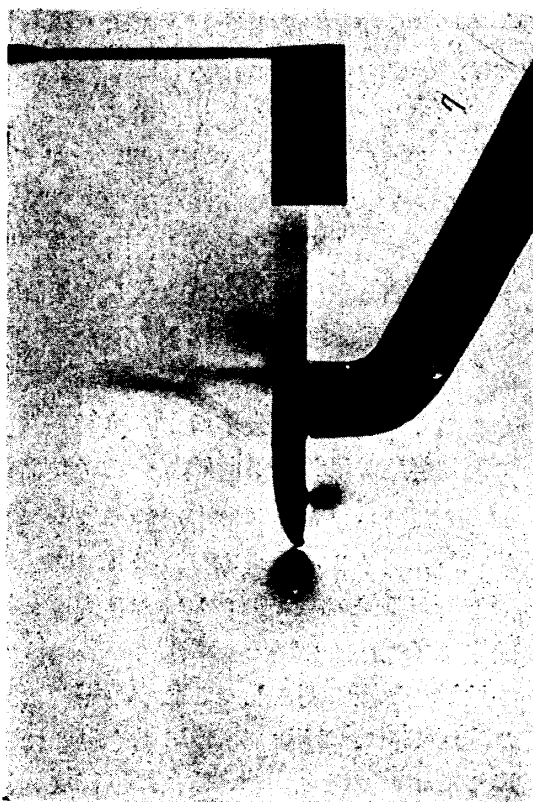
第 9 圖 閉 風 洞  $\alpha = 0^\circ$  M = .852  
スリット B  $\frac{\Delta H}{\Delta H_{M=0.5}} = 13.75$



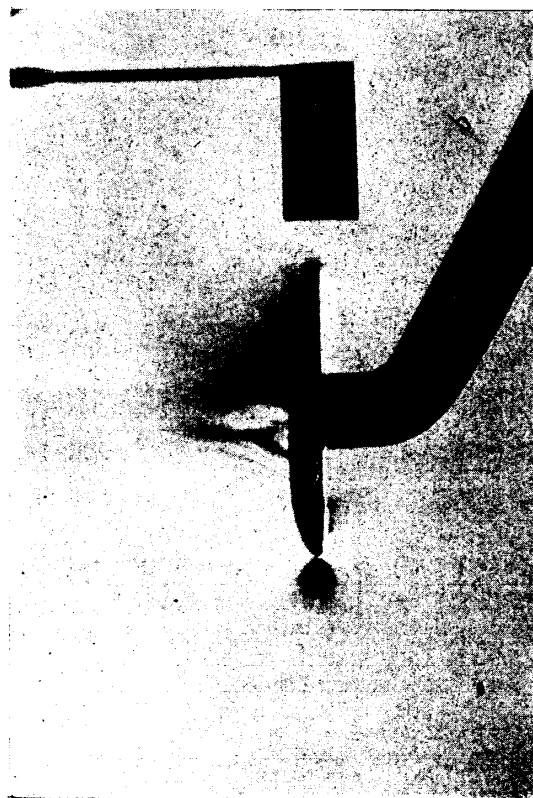
第 11 圖 開 風 洞  $\alpha = 0^\circ$  M = .833  
スリット A  $\frac{\Delta H}{\Delta H_{M=0.5}} = 10.72$



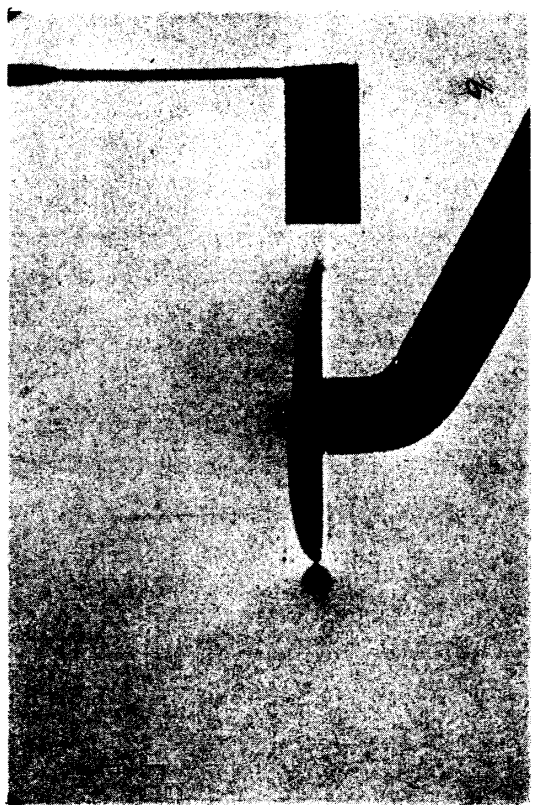
第 10 圖 閉 風 洞  $\alpha = 0^\circ$  M = .844  
スリット A  $\frac{\Delta H}{\Delta H_{M=0.5}} = 12.65$



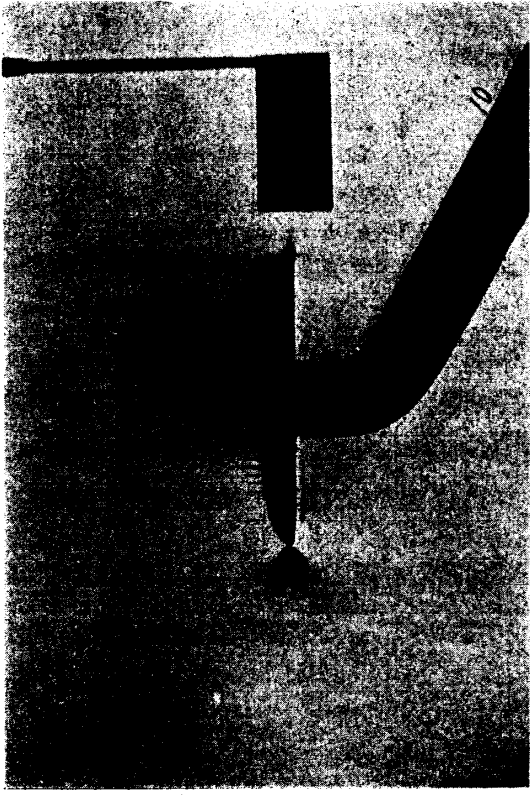
第 12 圖 開 風 洞  $\alpha = 0^\circ$  M = .806  
スリット A  $\frac{\Delta H}{\Delta H_{M=0.5}} = 7.21$



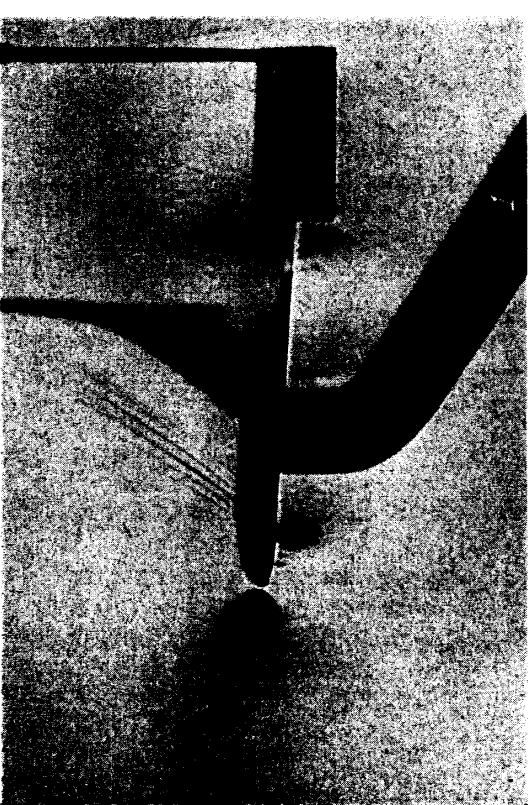
第13圖 閉風洞  $\alpha = 0^\circ$   $M = .723$   
スリット A  $\frac{\Delta H}{\Delta H_{M=0.5}} = 4.12$



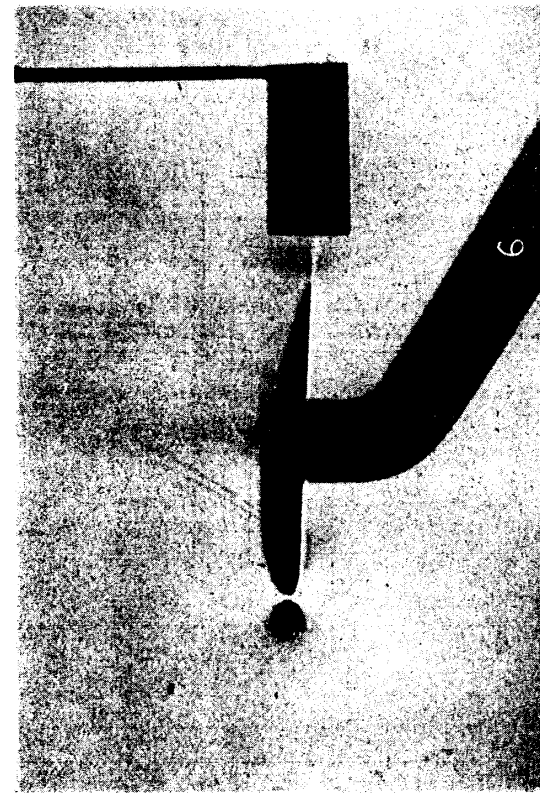
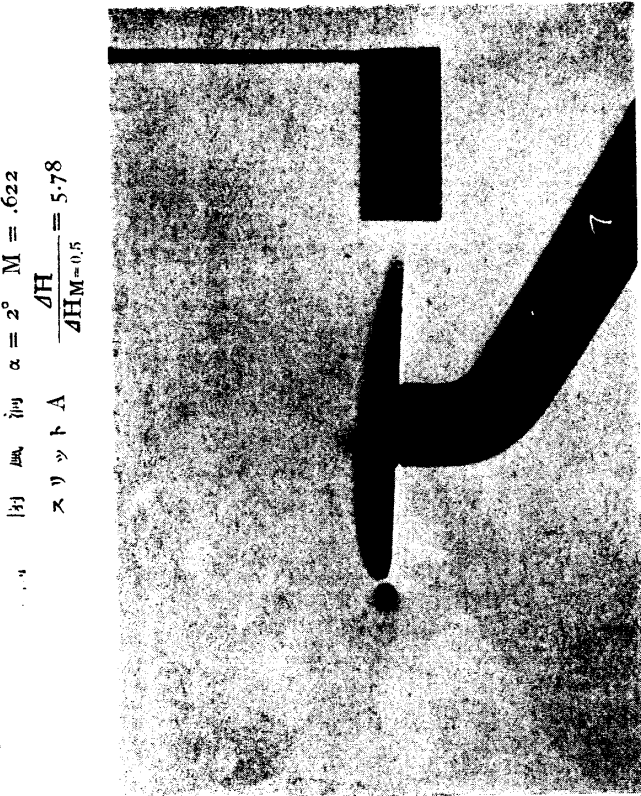
第15圖 閉風洞  $\alpha = 0^\circ$   $M = .612$   
スリット A  $\frac{\Delta H}{\Delta H_{M=0.5}} = 1.57$



第14圖 閉風洞  $\alpha = 0^\circ$   $M = .668$   
スリット A  $\frac{\Delta H}{\Delta H_{M=0.5}} = 1.51$



第16圖 閉風洞  $\alpha = 2^\circ$   $M = .747$   
スリット A  $\frac{\Delta H}{\Delta H_{M=0.5}} = 11.93$



第20圖 閉風洞  $\alpha = 2^\circ$   $M = .554$   
スリットA  $\frac{JH}{JHM=0.5} = 10.76$

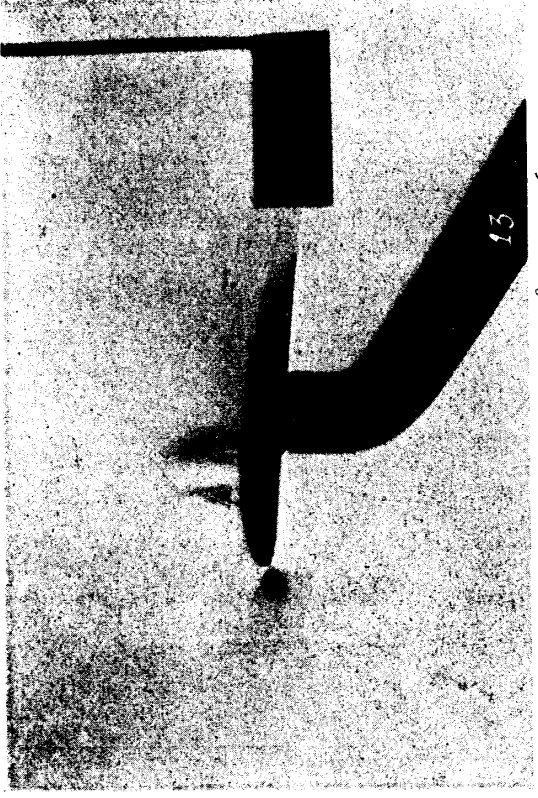
第 21 圖 閉 風 洞  $\alpha = 4^\circ$   $M = .741$ 

$$\frac{JH}{JHM=0.5} = 5.43$$

$$\frac{JH}{JHM=0.5} = 4.32$$

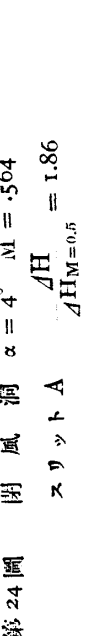
第 22 圖 閉 風 洞  $\alpha = 4^\circ$   $M = .710$ 

$$\frac{JH}{JHM=0.5} = 5.12$$

第 23 圖 閉 風 洞  $\alpha = 4^\circ$   $M = .694$ 

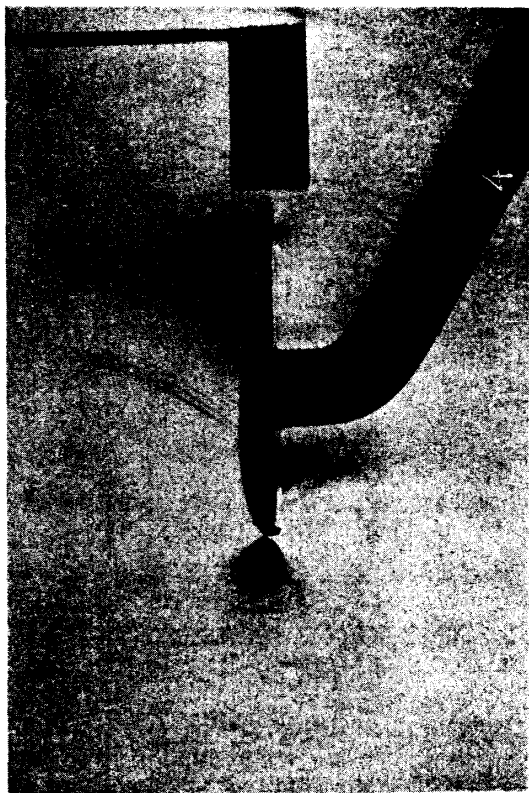
$$\frac{JH}{JHM=0.5} = 4.36$$

$$\frac{JH}{JHM=0.5} = 4.32$$

第 24 圖 閉 風 洞  $\alpha = 4^\circ$   $M = .564$ 

$$\frac{JH}{JHM=0.5} = 1.86$$

$$\frac{JH}{JHM=0.5} = 1.86$$



第 25 図 開風洞  $\alpha = 6^\circ$   $M = .693$   
スリット A  $\frac{\Delta H}{H_{M=0.5}} = 1.92$



第 26 図 開風洞  $\alpha = -4^\circ$   $M = .848$   
スリット A  $\frac{\Delta H}{H_{M=0.5}} = 22.77$

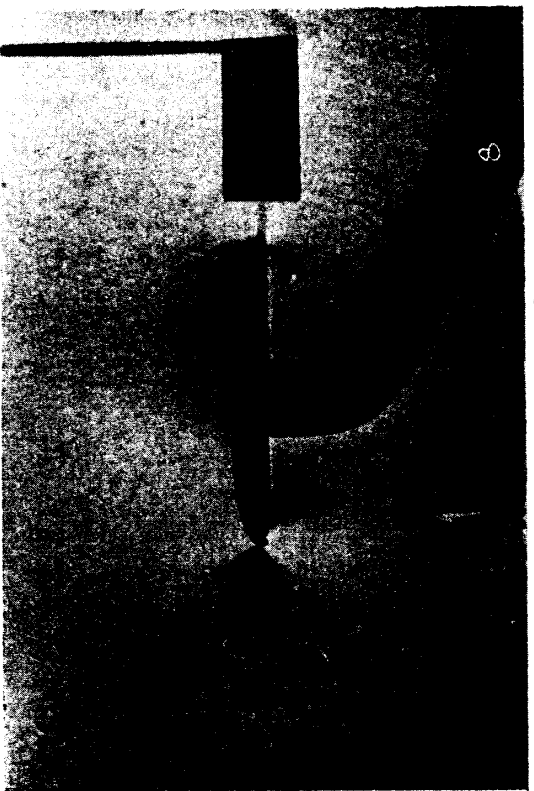
第 27 図 開風洞  $\alpha = 0^\circ$   $M = .860$   
スリット A  $\frac{\Delta H}{H_{M=0.5}} = 32.87$



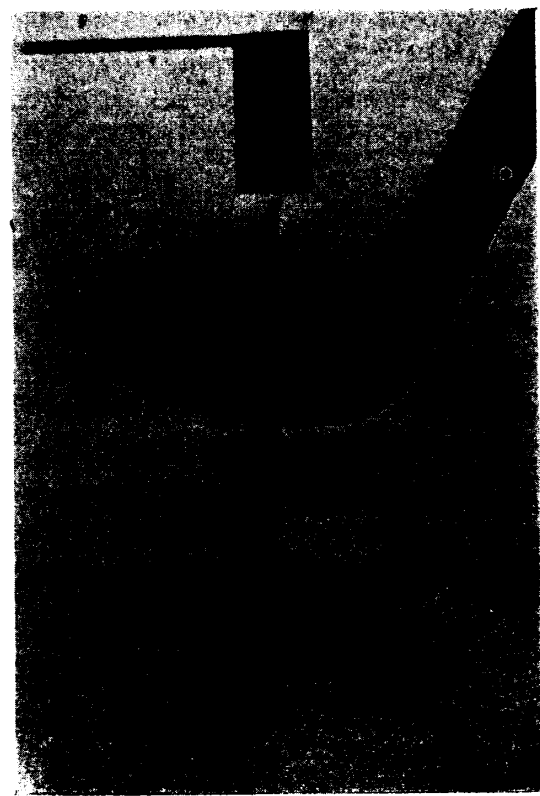
第 28 図 開風洞  $\alpha = 0^\circ$   $M = .842$   
スリット A  $\frac{\Delta H}{H_{M=0.5}} = 33.33$



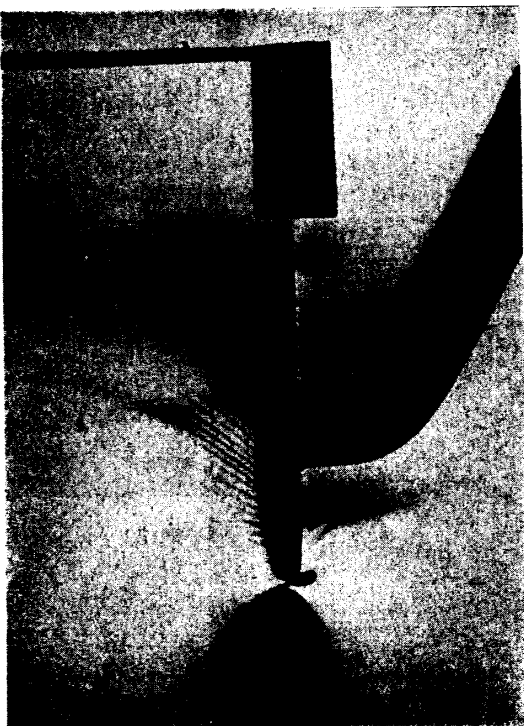
第29圖 閉風洞  $\alpha = 0^\circ$   $M = .818$   
スリット A  $\frac{\Delta H}{\Delta H_{M=0.5}} = 24.42$



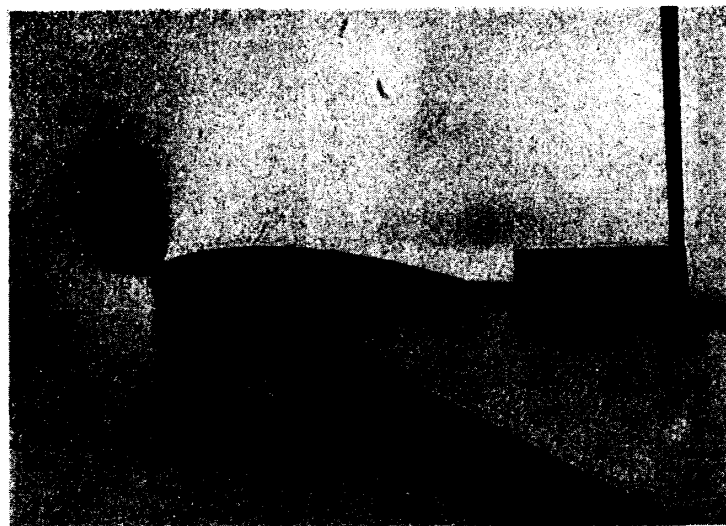
第31圖 開風洞  $\alpha = 0^\circ$   $M = .683$   
スリット A  $\frac{\Delta H}{\Delta H_{M=0.5}} = 3.60$



第30圖 開風洞  $\alpha = 0^\circ$   $M = .768$   
スリット A  $\frac{\Delta H}{\Delta H_{M=0.5}} = 15.13$



第32圖 開風洞  $\alpha = 0^\circ$   $M = .869$   
スリット A  $\frac{\Delta H}{\Delta H_{M=0.5}} = 19.86$

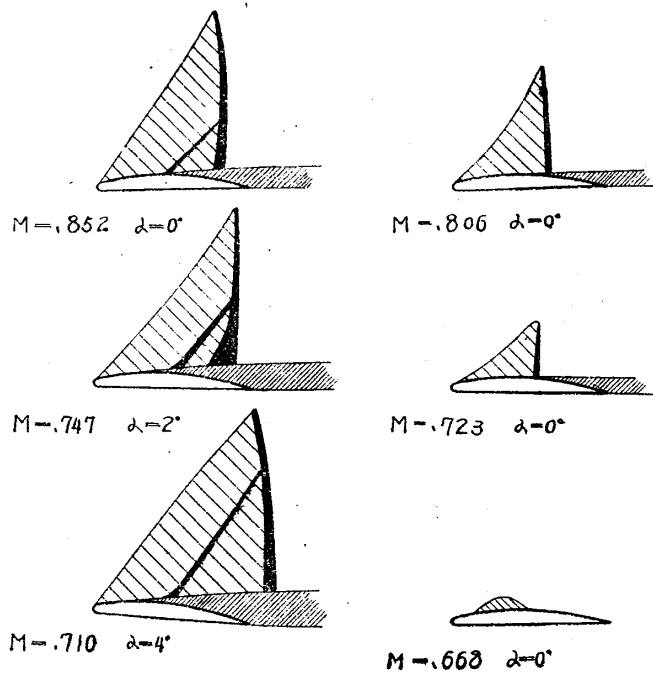
第 33 圖 開 風 洞  $\alpha = 0^\circ$   $M = .800$ 

$$\text{スリット C} \quad \frac{\Delta H}{\Delta H_{M=0.5}} = 14.02$$

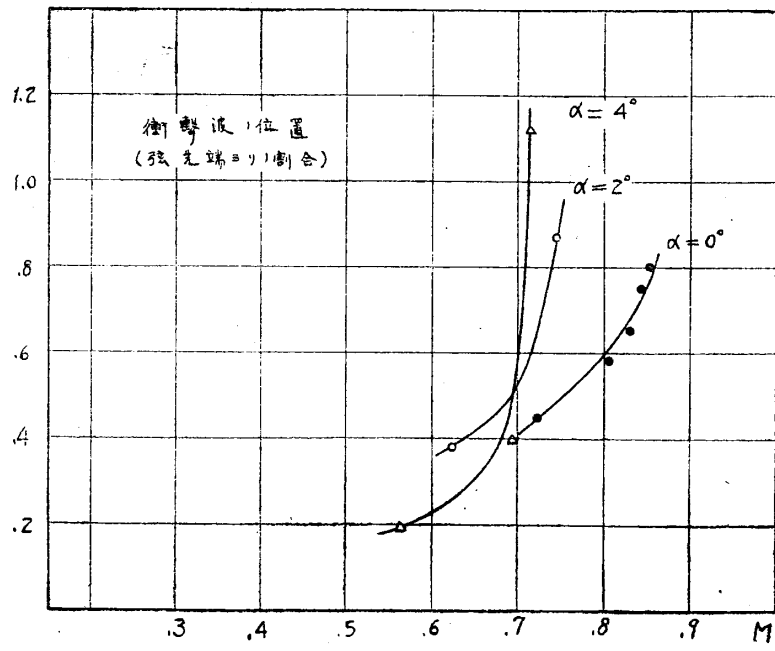
ハ数 0.710 迎角 4 度における A の場合、第 21 圖は同じくマッハ数 0.741 の同じ迎角に對する B の場合であるが、これらに於て注目すべきは衝撃波が翼の輪郭を離れて後流から發生してゐることである。後流中の速度は音速以下であるから衝撃波は此の中には及んでゐない。此の現象は風洞實驗で現はれる現象で、大氣中を飛行する場合も斯くなるかどうかは何とも言えない。風洞實驗には、風洞効果なる現象が伴ひ、これが流れの模様を殊に衝撃波を作ふ場合は著しく變えて、風洞特有の流れに變えてしまつてゐるから注意せねばならない。次に興味ある問題は何時衝撃波が發生し初めるかの點である。

これは以前は翼の上面に音速を起す部分が生ずると同時に發生するものと考へたものであるが、最近は必ずしもそうでなく、寧ろそれからしばらくたつて發生するとの意見が多い。今回の實驗からははつきりした結論は出せなかつたが、第 10 圖に見る如く一部分が音速を超えたマッハ波が現はれると、抵抗は増加し初める様である。抵抗の増加するのは流れの早期剝離によるので、この剝離は部分的に音速を起すと起る様で衝撃波は剝離した爲に生ずるもので、衝撃波が原因で剝離を起すのではないらしい。第 22 圖の寫真に於ては實際衝撃波は翼を離れて後流から生じてゐる。この點後者の意見が正しい様である。

3. 固定壁と自由壁との比較の爲に、迎角 0 度の場合、自由壁の場合を實驗してみた。此の場合、總壓の損失係数、従つて多分抗力係数のマッハ数による變化は殆んど相異がないらしいが、流れの模様は甚だしく相異してゐる。自由壁の場合はどう



第34図 NACA 4412における衝撃波



第35図

しても衝撃波が寫真に撮れなかつた。しかし音速を部分的に超すと氣流の早期剝離は起してゐる。これが爲に總圧の損失は固定壁の場合と變りがないのである。衝撃波は甚だ弱いもので、且後方に傾いてゐる様である。第27~32圖のAの場合の寫真には衝撃波は殆んど現はれてゐないが、第33圖のCの場合の寫真には不明瞭ながら見られる。

以上の寫真から、代表的の衝撃波を圖示すれば第34圖の如きものとな

(2)  
る。又寫真から衝撃波の位置を前縁からの距離を翼弦の割合で示すと第35圖の如き結果を得る。何れの迎え角に於ても衝撃波は速度が増すと後方に退くのである。

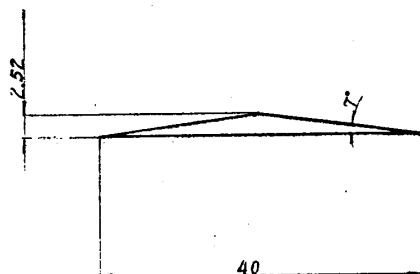
筆者の考へるところでは本實驗の最高速度は見かけの上から

- (1) 第32圖は表面に溝を切つた場合で、此處からマッハ波が發生してゐる。  
 (2) 斜線にて陰影を施した部分は音速以上の部分、斜の黒線は斜衝撃波である。

は音速以下であるが、大氣中の運動の場合に翻譯するとマッハ數 1 を少し超したときの流れに寧ろ近いものではないかと思はれる。只音速以上の場合に現はれる筈の翼前方の衝撃波が風洞實驗では現はれないだけと思ふ。

即ち風洞實驗に於ては衝撃波を生じてから後は、風洞特有の流れであつて、同じマッハ數の大氣中の流れとは同じでない。従つて音速に近い高速の物體の抵抗、揚力の値は到底風洞では得られないこととなる。これが筆者の提唱する高速に於ける風洞効果である。音速以上でマッハ數 1 に近い實驗を行ふ場合も同様で、風洞中に物體を入れればもはや、流れは根本的に變つてしまふ。これも風洞効果である。

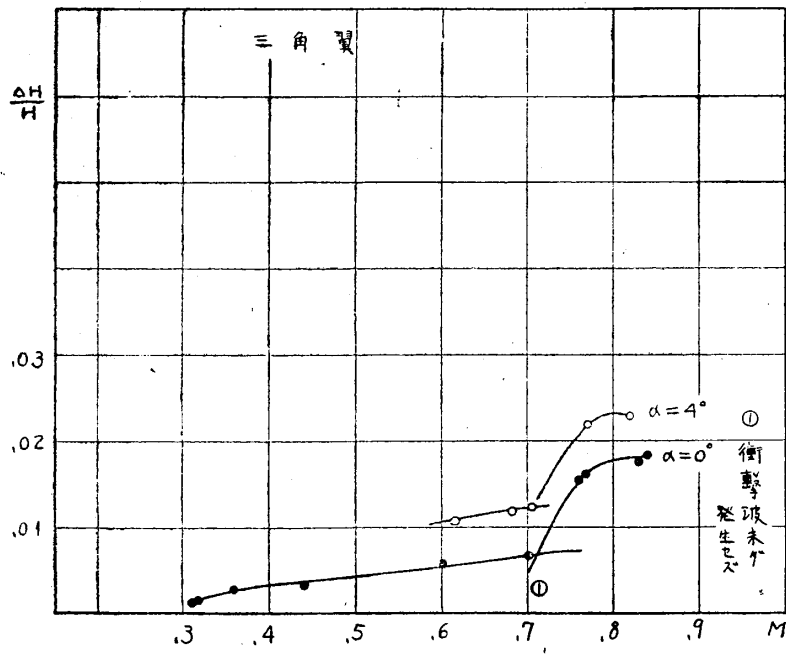
#### 4. 特種翼型に就いての實驗



第 36 圖

衝撃波發生の機構を尙よく驗べる爲に第 36 圖に示す如き三角形斷面を有する簡単な翼型に就いて實驗を繰り返してみた。實驗は固定壁と自由壁の二通りに就いて行つたのであるが、固定壁の場合のみを論ずる事とする。第 37 圖は總壓損失とマッハ數との關係を示すもので、第 38~45 圖の寫

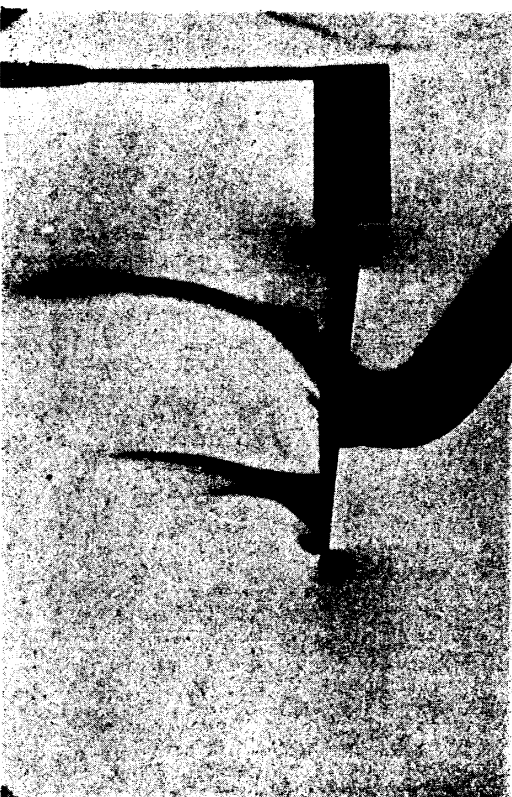
眞はシュリーレン寫眞を示す。此の翼では迎角  $0^\circ$  の場合は上面の壁との間の路は末細、末廣の通路の形式をとり、十分に風速を上げれば衝撃波は後半の末廣の部分に現はる可きもので、第 38 圖に見る如く實際にも左様である。



第 37 圖



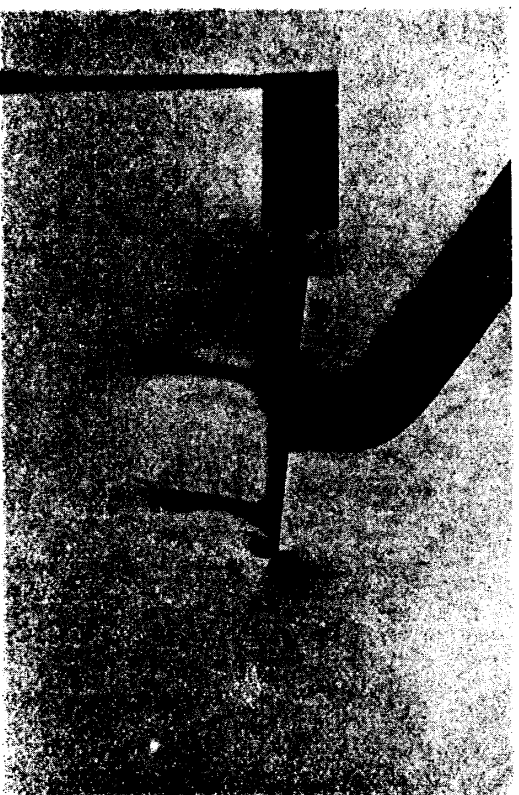
第38圖 閉風洞  $\alpha = 0^\circ$   $M = .822$   
スリット A  $\frac{\Delta H}{\Delta HM=0.5} = 4.39$



第40圖 閉風洞  $\alpha = 4^\circ$   $M = .810$   
スリット A



第39圖 閉風洞  $\alpha = 0^\circ$   $M = .766$   
スリット A  $\frac{\Delta H}{\Delta HM=0.5} = 4.06$



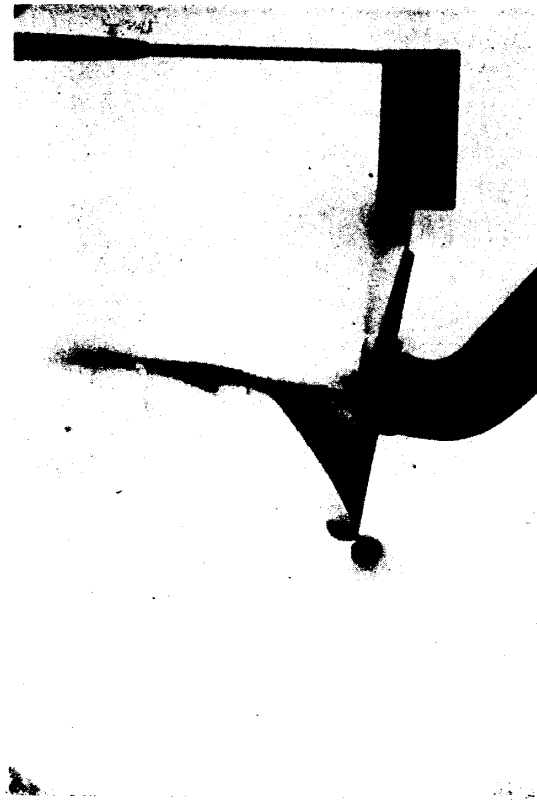
第41圖 閉風洞  $\alpha = 4^\circ$   $M = .772$   
スリット A



第42圖 附風洞  $\alpha = 7^\circ$   $M = .794$   
スリットA



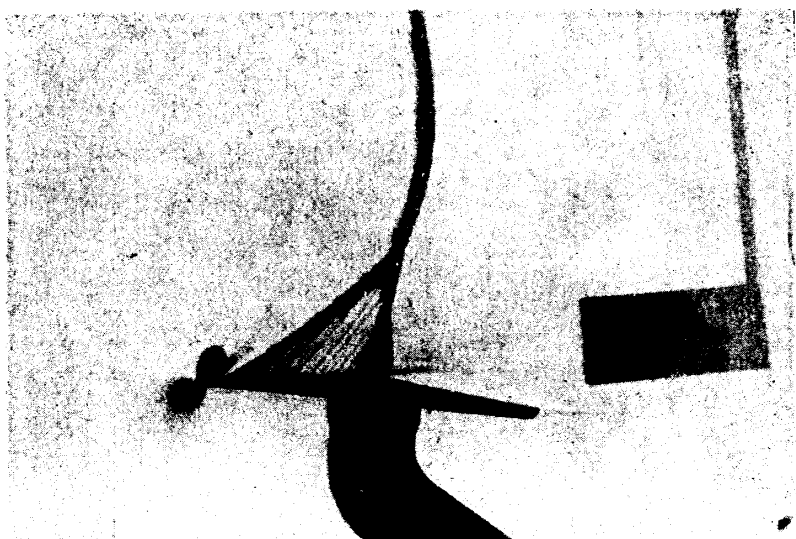
第44圖 附風洞  $\alpha = 15^\circ$   $M = 7.24$   
スリットA



第45圖 附風洞  $\alpha = 7^\circ$   $M = .742$   
スリットA



第45圖 附風洞  $\alpha = 15^\circ$   $M = .72$   
スリットB

第 46 圖  $\alpha = 8^\circ$   $M = .774$ 

表面溝付、斜衝撃波明瞭に現はる

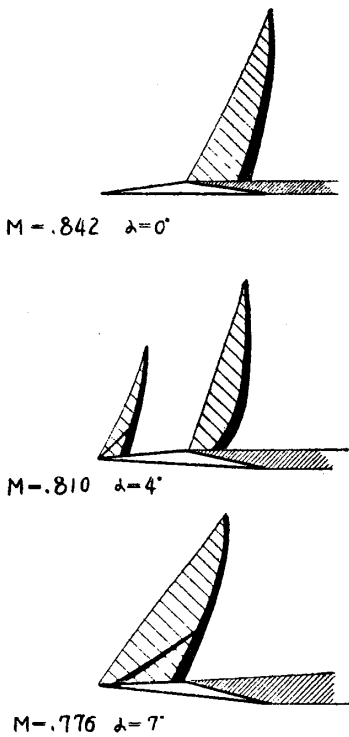
迎角 4 度の場合は之に反して前半で既に音速以上に達し前半で一度衝撃波を生じて一旦音速以下となり、更に後半にて再び音速以上となり衝撃波を生じてゐる。

第 40 圖及第 41 圖が此の時の模様を示す。迎へ角を更に増して 7 度とすると衝撃波は一本となつて、速度の小さいときは翼の前半（第 43 圖）大きいときは翼の後方に後流（第 42 圖）から発生してゐて、NACA 4412 の場合の大きな迎角の場合と同じになる。第 42 圖の前方の斜めの線は翼前端附近及中央の面から生ずる斜の衝撃波を見る可きである。<sup>(1)</sup>

更に迎角を増して 15 度とすると第 44 圖及第 45 圖に示す如く、不連續運動となつてしまふ。衝撃波は此時も尚発生してゐる。斯の如き衝撃波は風洞効果を考へに入れねば到底考へられぬものである。

(1) 第 46 圖の寫眞は  $M=0.774$ ,  $\alpha=8^\circ$  の場合のシュリーレン寫眞である。此の場合は翼の表面に溝を切つておき、且、衝撃波を明瞭ならしめる爲、マグネシウムの電極間に強大なる電氣火花（電圧 1,0000）を一個飛ばせて撮影したものである。これより見ると例へば第 42 圖、第 43 圖の前方の斜の線は、斜の衝撃波であつて、音速以上にて運動してゐる砲丸などの前端に生ずるものと似てゐることがわかる。斜波の上方の領域はその後方に直立衝撃波があるから、こゝも亦音速以上である。マッハ波の見える三角領域は、斜波の上部の領域より速度は遅い様で、直立衝撃波は斜波との交叉點で折れてゐるのは此の爲と思はれる。

一般の翼型でも此の斜波による三角領域は存在する様で、例へば第 10 圖、第 16 圖には小さいながら現はれてゐる。第 34 圖及第 46 圖には此の斜波をも書き加えておいた。



第 46 圖

## 5. 結 言

斯の如く衝撃波を伴ふ流れは複雑怪奇であつて簡単に眞相が摑めない。此の領域に於ては數學的解析は全く無力であり、又實驗的には風洞効果、其他のものが加はつて伸々分析が困難である。吾人の求める實用的興味は實際の飛行中に於ける現象であるが、高速に於ては此の實驗に見る如き衝撃波が現はれるや否や、又、抗力係數、揚力係數は如何に變化すべきかである。音速附近に於ては風洞實驗は抗力係數を過大に揚力係數を過小に見る傾向があることは確と思ふ。此の時の翼の性能はプロペラの設計にあたつては特に必要である筆者等の行つた豫備的實驗によれば高速プロペラの性能は翼の高速に於ける性能を基として理論的に求めたものと大分異なる様である。これは風洞實驗結果の實際と異なる爲であるらしい。筆者は高速に於ける翼の性能を引續き種々の實驗方法によつて驗べつゝあるのであるが中間報告としてその一部を未完成のまゝ發表した次第である。

シェリーレン寫真撮影に當り、努力せられた、春名雇員に深く感謝し又實驗装置全般の設計製作に當つた廣岡技手に感謝の意を表するものである。